

# 基于预处理技术和弧长法的非线性方程通用求解子程序

## 总结报告

清华大学土木工程系 土博零 陆新征

指导教师：江见鲸

2000年12月7日

### 一、 课题研究背景

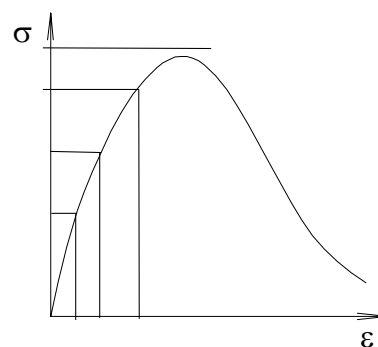
在结构有限元分析中，经常需要求解非线性方程组

$$F(\Delta x) = \Delta f \quad (1)$$

这里向量  $\Delta x$  为有限元各个节点的位移， $\Delta f$  为节点外力。如果材料的力学性能复杂，特别是当有些材料的力学性能与其应力历史有关时，必须求解一系列的方程组  $F(\Delta x_i) = \Delta f_i$ ，

并要求  $\Delta x$  和  $\Delta f$  都不能过大，以达到“跟踪”结构荷载—位

移变化全过程的要求。由于实际计算中的无法预知计算结果，所以当计算接近极值点时，往往因为对节点外力  $\Delta f$  的设定不合适而导致求解失败或结果“跳跃”，即  $\Delta x$  或  $\Delta f$  过大，造成精度的丧失乃至结果的错误。目前结构分析中解决这一问题的方法主要有以下三种形式：



#### 1、 不考虑下降段

当我们只关心峰值点时，当发现计算接近峰值点后，不断减小加载步长，这样，可以得到一个较精确的峰值点，但无法得到下降段。

#### 2、 迭代强制收敛方法。

如果主要想了解的是下降段而不是峰值点的值，则当计算非常靠近极值点时，迭代如果不收敛或收敛很慢。这时就让它强制收敛，即当迭代次数大于预先设定的最大迭代次数  $N_{cr}$  时，则认为  $N_{cr}$  次迭代的结果就是非线性方程组的解，进行下一轮计算。这样可能会在峰值点附近精度不高，特别是当加载步长取得比较大的时候。

#### 3、 线形搜索法（本方法是从结构分析软件 SAP-Structure Analysis Program 的说明中看到的，具体方法我也不是很了解）

当计算接近峰值点时，对每次计算的结果进行一个小的折减，使程序自动适应下降段。但如果曲线变化过于突然，或加载步长过大，则本方法失效。

为了达到对结构荷载—位移变化的全过程自动跟踪,我设计了一个基于弧长法的非线性方程通用求解子程序。由于当计算接近极值点时,刚度矩阵往往是病态的,为了提高在极值点附近的精度,在迭代求解过程中,使用了预处理技术,以提高求解的稳定性和精确性。

## 二、基本原理及方法

### 2.1、利用弧长法实现对求解过程的自动控制。

#### 2.1.1、基本原理

结构分析的一般方程为  $F(\Delta x_i) = \Delta f_i$ , 为了达到自动控制的目的,我在该方程组中增加一个变量  $\lambda$ , 变原方程组为

$$F(\Delta x_i) = \lambda \Delta f_i \quad (2)$$

这时,方程组共有  $n+1$  个未知量:  $\Delta x \in R^n$ ,  $\lambda$ , 而方程只有  $n$  个,因此,必须补充条件。

现在令补充条件为

$$\lambda^2 \|\Delta f\|_2^2 + \|\Delta x\|_2^2 = S^2 \quad (3)$$

则  $S$  即为附加的控制变量,我们称之为“弧长”。这时,方程组变为  $F' \in R^{(n+1) \times (n+1)}$ , 通过引入  $\lambda$ , 从而实现了对计算过程的自动控制。

#### 2.1.2、具体方法

将方程组(2)写成牛顿迭代形式,即:

$$K(x_k) \Delta x_k = \lambda_k \Delta f + R_k \quad (4)$$

这里  $K(x_k)$  即为  $F'(x_k)$ ,  $\Delta x_k$  为第  $k$  次迭代的位移值,  $\lambda_k$  为第  $k$  次迭代的  $\lambda$  值,  $R_k$  为节点不平衡力。

令  $r = \begin{Bmatrix} \lambda \|\Delta f\|_2 \\ \Delta x \end{Bmatrix}$ , 如图 2 所示, 则附加条件(3)可以写成

$$\|r\|_2 = S \quad (5)$$

即在迭代中,  $i, i+1$  点沿一圆弧进行, 故称为弧长法。现在的问题是如何确定  $\Delta \lambda^{(i+1)}$  与  $\Delta u^{(i+1)}$ 。按图 2 所示, 将迭代向量表示为

$$r^{(i+1)} = r^{(i)} + \Delta u^{(i+1)} \quad (6)$$

代入(5), 得到

$$(r^{(i)} + \Delta u^{(i+1)}) \cdot (r^{(i)} + \Delta u^{(i+1)}) = S^2 \quad (7)$$

又因  $r^{(i)} \cdot r^{(i)} = S^2$  (8)

所以  $\Delta u^{(i+1)} (\Delta u^{(i+1)} + 2r^{(i)}) = 0$  (9)

又因为  $\Delta u^{(i+1)} \cdot \Delta u^{(i+1)} = [\Delta x^{(i+1)}]^T [\Delta x^{(i+1)}] + (\Delta \lambda^{(i+1)} \|\Delta f\|_2)^2$  (10)

$$r^{(i)} \cdot r^{(i)} = [x^{(i)}]^T [x^{(i)}] + (\lambda^{(i)} \|\Delta f\|_2)^2 \quad (11)$$

最后得到方程

$$[\Delta x^{(i+1)}]^T ([\Delta x^{(i+1)}] + 2[x^{(i)}] + \Delta \lambda^{(i+1)} \|\Delta f\|_2 (\Delta \lambda^{(i+1)} \|\Delta f\|_2 + 2\lambda^{(i)} \|\Delta f\|_2)) = 0 \quad (12)$$

将  $[\Delta x^{(i+1)}]$  分为两部分：

$$[\Delta x^{(i+1)}] = \Delta \lambda^{(i+1)} [\Delta x^{(i+1)}]_I + [\Delta x^{(i+1)}]_{II} \quad (13)$$

其中：

$$[K^{(i)}] [\Delta x^{(i+1)}]_I = [\Delta f] \quad (14),$$

$$[K^{(i)}] [\Delta x^{(i+1)}]_{II} = [R^{(i)}] \quad (15)$$

将 (13) 代入 (12)，得到关于  $\Delta \lambda^{(i+1)}$  的二次方程：

$$a(\Delta \lambda^{(i+1)})^2 + 2\Delta \lambda^{(i+1)} + c = 0 \quad (16)$$

系数

$$a = 1 + [\Delta x^{(i+1)}]_I^T [\Delta x^{(i+1)}]_I,$$

$$b = \lambda^{(i)} + [\Delta x^{(i+1)}]_I^T ([\Delta x^{(i+1)}]_{II} + [x^{(i)}])$$

$$c = [\Delta x^{(i+1)}]_{II}^T ([\Delta x^{(i+1)}]_{II} + 2[x^{(i)}])$$

这样，解方程 (16)，就可以得到  $\Delta \lambda^{(i+1)}$ 。

为了简化  $\Delta \lambda^{(i+1)}$  的求解过程，在程序编制过程中，我使用了切平面法，即用垂直于  $r^{(i)}$

的向量  $\Delta u^{(i+1)}$  来代替圆弧，即

$$r^{(i)} \cdot \Delta u^{(i+1)} = 0 \quad (17)$$

写成矩阵形式为

$$[x^{(i)}]^T [\Delta x^{(i+1)}] + \lambda^{(i)} \Delta \lambda^{(i+1)} \|\Delta f\|_2^2 = 0 \quad (18)$$

同样将  $\Delta x^{(i+1)}$  分为两部分，则可以解得

$$\Delta \lambda^{(i+1)} = - \left( \frac{[x^{(i)}]^T [\Delta x^{(i+1)}]_H}{[x^{(i)}]^T [\Delta x^{(i+1)}]_L + \lambda^{(i)} \|\Delta f\|_2} \right) \frac{1}{\|\Delta f\|_2} \quad (19)$$

与式 (13), (16) 相比，该式简化了很多。

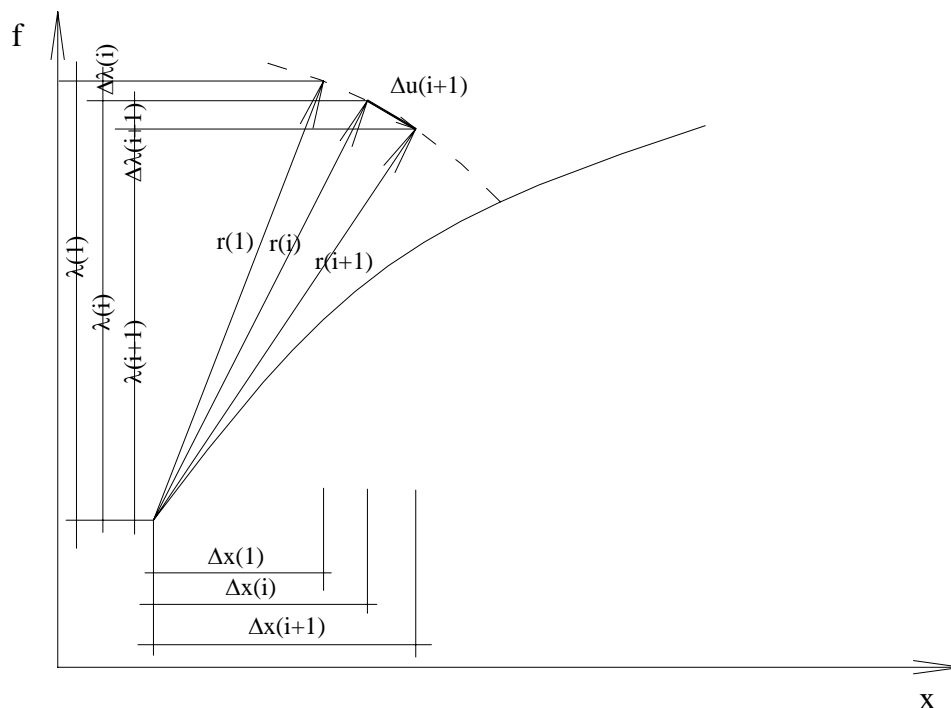


图 2、弧长法迭代过程示意图

在实际计算中，除了要知道  $\lambda^{(i)}$  的数值以外，还需要知道刚度矩阵的正定性，如果刚度矩阵不是正定的，则节点荷载  $\Delta f_{i+1} = -\Delta f_i$ 。

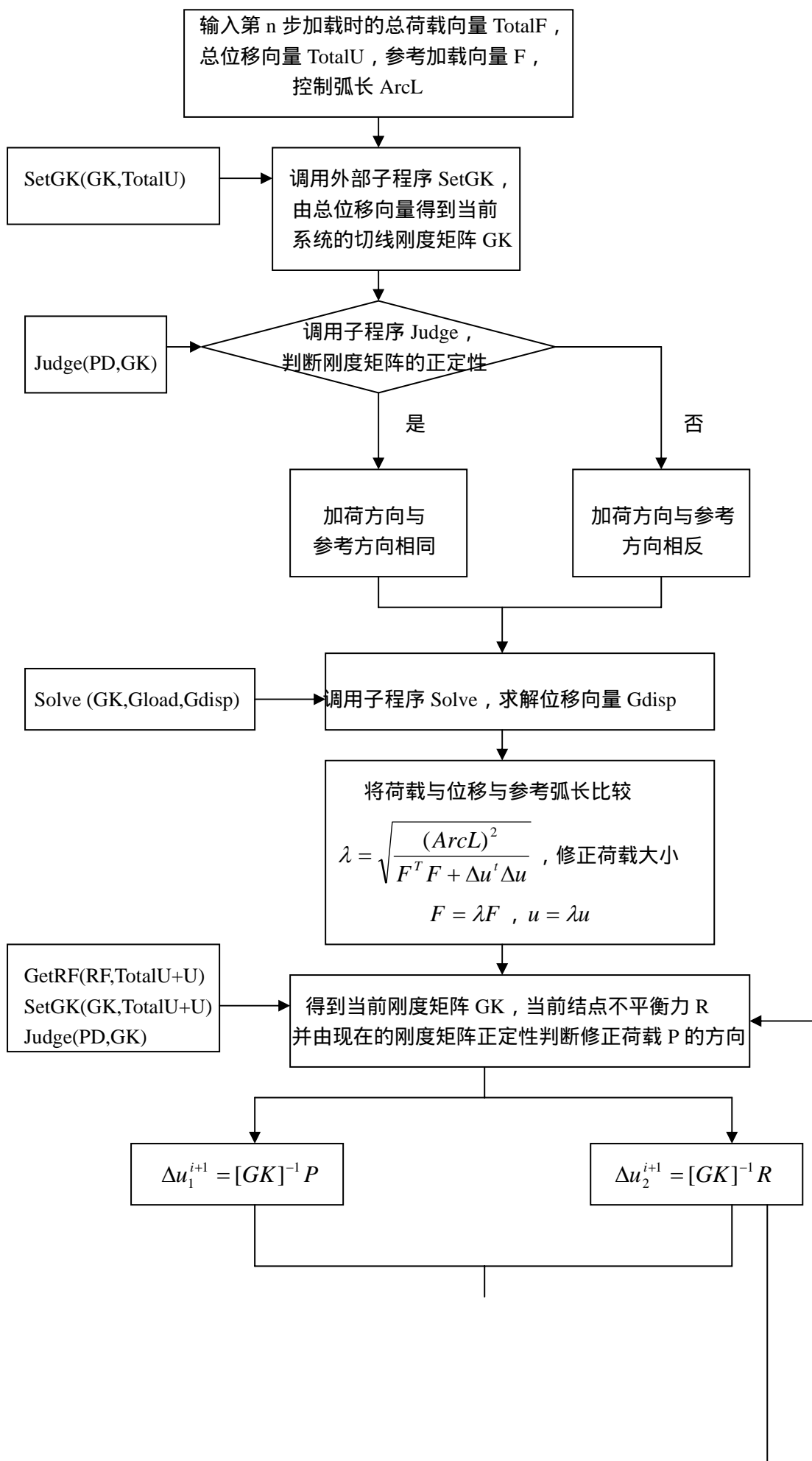
### 2.1.2、弧长法的具体实现方法

在实际计算中，先进行矩阵正定性判别，利用 Lancsoz 方法，进行两步 Lancsoz 过程，得到相应的 Ritz 值  $\theta_1, \theta_n$ 。因为  $\theta_2 \approx \lambda_n$ ， $\lambda_n$  为刚度矩阵最小的特征值。如果  $\theta_2 < 0$ ，则认为刚度矩阵为非正定。

弧长法程序模块由三个子程序组成：

- 1：subroutine ArcLeng(TotalP, TotalU, F, ArcL)，功能：弧长法迭代核心程序
- 2：subroutine Judge(PD, GK)，功能：判断刚度矩阵的正定性
- 3：subroutine Solve(GK, Gload, Gdisp)，功能：求解迭代方程组

子程序 ArcLeng 的流程图如图 3 所示：



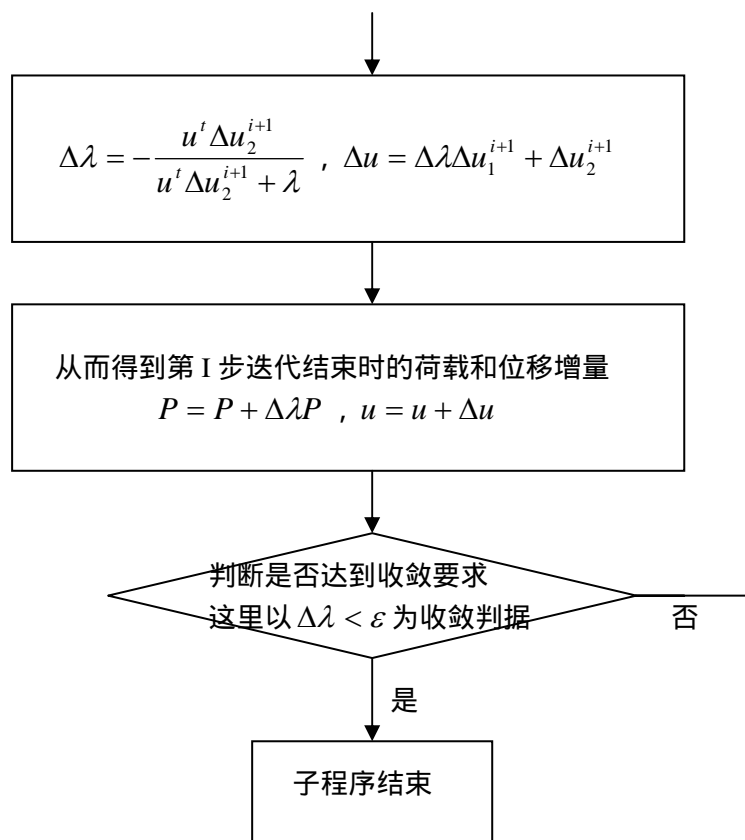


图 3：子程序 ArcLeng 的流程图

子程序 Judge 使用 Lanczos 方法来判定刚度矩阵是否正定。具体做法是：

进行两步 Lanczos 过程，得到矩阵  $B \in R^{2 \times 2}$ ，再得到  $B$  的特征值  $\theta_1, \theta_2$ 。因为  $\theta_2 \approx \lambda_n$ ，

$\lambda_n$  为刚度矩阵最小的特征值。如果  $\theta_2 < 0$ ，则认为刚度矩阵为非正定。

子程序 Solve 使用预处理技术求解线性方程组，如果刚度矩阵奇异，则施加一个小阻尼，此时  $GK = GK + \lambda I$ ， $\lambda = 10^{-10} \min \text{val}(\text{abs}(GK))_n$ ，其特点将在下节讨论。

## 2.2、利用预处理技术实现对方程组的精确求解

### 2.2.1、关于使用 Lancsoz 方法求解的尝试（具体方法参见阶段报告一）

在选择求解方法之初，我根据有关资料上的介绍，选定 Lancsoz 方法来求解线性方程组。基本思想是：

- 1、先用 Lancsoz 方法处理矩阵，将矩阵转化为三对角阵。
- 2、对三对角阵进行预处理，使其无穷范数相等
- 3、求解预处理后的三对角阵。

在实际分析中发现，利用预处理子程序 PreCon 的确可以有效降低矩阵的条件数，对三对角矩阵效果似乎更明显。但是，同时也应注意到，由于 Lanczos 过程计算中不可避免的带来数值上的误差，当矩阵的条件数特别大时，预处理子程序的效果往往会被 Lanczos 过程的

数值误差“吃掉”，最后没有出现有些文献中声称的那样明显的效果，因此，在这个预处理方法上，还需要一些讨论。以 Hilbert 矩阵为例，在双精度下，当矩阵  $n > 5$  时，预处理 Lanczos 的结果精度对普通高斯消去已经没有什么优势了。

因此，我认为基于 Lanczos 方法求解的尝试没有取得预想效果，需要用新的方法代替。

### 2.2.2、 $A_3$ 预处理技术

取预处理矩阵  $M=A_3$ ，即取原矩阵的三条主对角线元素为预处理矩阵，对原矩阵进行预处理。为了比较其效果，这里以 Hilbert 矩阵为例，比较其效果。

方程  $Hx = b$ ， $H$  为 Hilbert 矩阵，分别用普通高斯消去法和预处理后的消去法得到结果  $\tilde{x}$ ，记误差为  $\|b - A\tilde{x}\|_2$ ，结果如表 1 所示：

表 1、预处理效果比较

矩阵的阶数	未处理结果的误差	预处理结果的误差
10	1.164153218269348E-010	1.091393642127514E-010
20	2.607703208923340E-008	1.117587089538574E-008
30	1.981854438781738E-006	9.313225746154785E-008

可见，预处理具有一定的效果。而且此方法的代价并不大，可以作为一个实用方法使用。

### 2.2.3、线性方程组求解

由于计算中实际的刚度矩阵都是稀疏的，因此，我在这里直接使用数学软件包 IMSL 中的稀疏矩阵求解子程序 DLSLXG 作为预处理后刚度矩阵的求解子程序。经比较发现，DLSLXG 的解题速度比直接编程计算的速度快一倍以上，当矩阵特别大时，效果更加明显。

## 三、具体算例

为了验证该程序的有效性，我特选择了一个经典的非线性结构分析题目，一个串联双弹簧系统进行了分析。系统如图 4 所示：

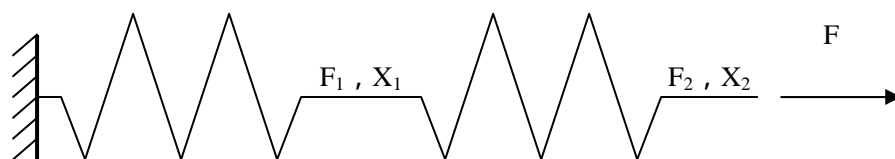


图 4：双弹簧系统

此系统在数学上为一二元非线性方程组，未知量为  $X_1, X_2$ ，刚度矩阵  $GK \in R^{2 \times 2}$ 。

每根弹簧的“力-位移”关系为

$$\frac{F^i}{F_0^i} = \left[ 0.5 \left( \frac{x^i}{x_0^i} \right)^3 - 2.25 \left( \frac{x^i}{x_0^i} \right)^2 + 2.75 \left( \frac{x^i}{x_0^i} \right) \right], \text{ 如图 5 所示。}$$

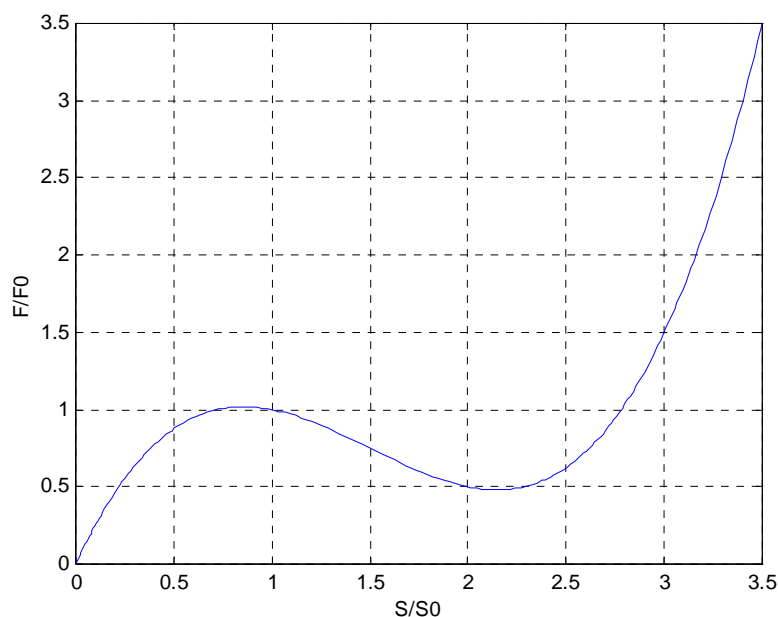


图 5：弹簧的力-位移关系

设第一根弹簧的屈服力  $F_0^1 = 2F_0^2$ ，在第二根弹簧端部施加荷载，得到的荷载 (F) -位移 ( $X_2$ ) 全曲线如图 6 所示。

由图 6 可以看出，本系统在求解时，具有相当的复杂性。出现了 4 个极值点，且导数符号也变化了 4 次。一般的牛顿法或位移控制法均失败或求解效率很低。但利用本程序。可以迅速稳定的得到结果。迭代次数一般只需 2-3 次（极值点附近需要 6-7 次）就可以达到  $10^{-7}$  精度，因此，本程序具有较好的使用用途。

为了比较初始参考弧长对计算的影响，我又改变弧长进行了一系列的试算，结果如图 7 所示。可以看出，当参考弧长大与一定程度时，其对整个求解过程的控制能力减弱，结果出现“跳跃”。（如图 7 中 3、4、5 组曲线）。因此，选择合适的初始参考弧长，使计算效率和精度上有一个较好的平衡点，对弧长法有重要意义。

图 8 比较了各个不同的线性方程组求解程序对结果的影响，应用了预处理技术后的求解子程序在峰值点附近有更好的性能，参考弧长对极值附近的控制更加稳定有效。（注，为了便于比较，将三条曲线绘于一张图内。为了清楚起见，第二，第三条曲线分别平移了 0.25，0.5。实际上三条曲线几乎完全相同。）

图 9 为现在常用结构计算程序的结果与本程序计算结果的对比，取相同的加载步长。可见，本方法对整个过程计算效果最好。不但完整的反映出了整个变化过程，精度也相当的高。



荷载-位移关系

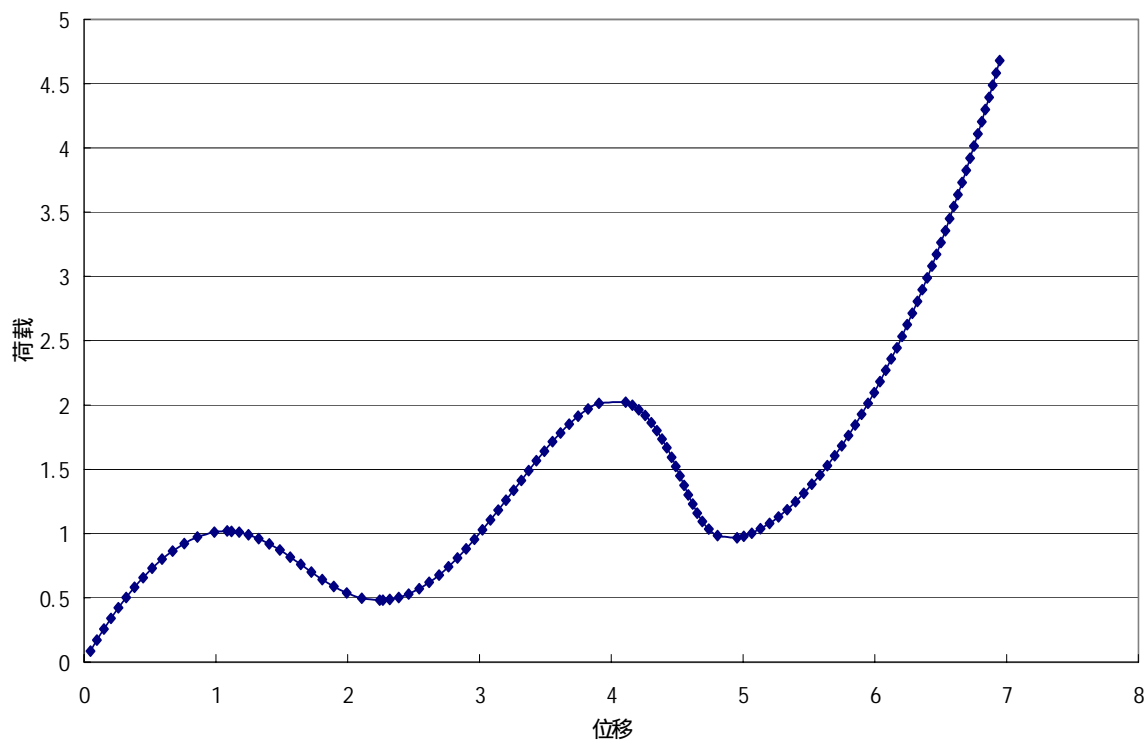


图 6：荷载，位移全曲线

弧长对计算的影响

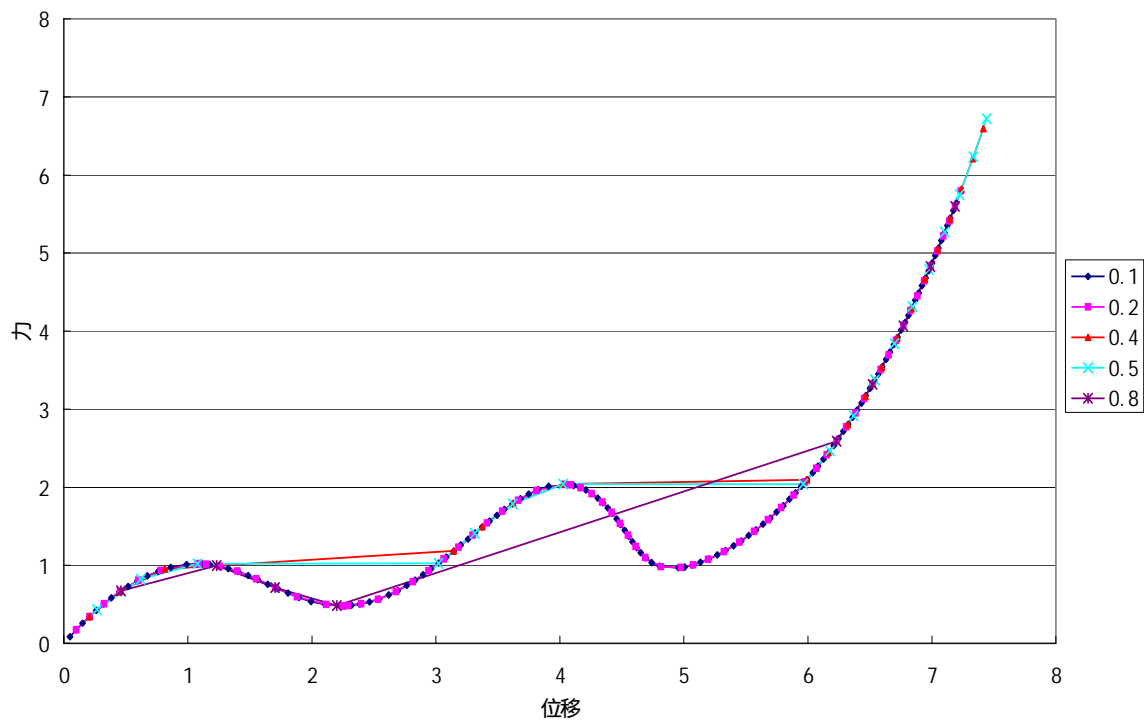


图 7：弧长对计算的影响

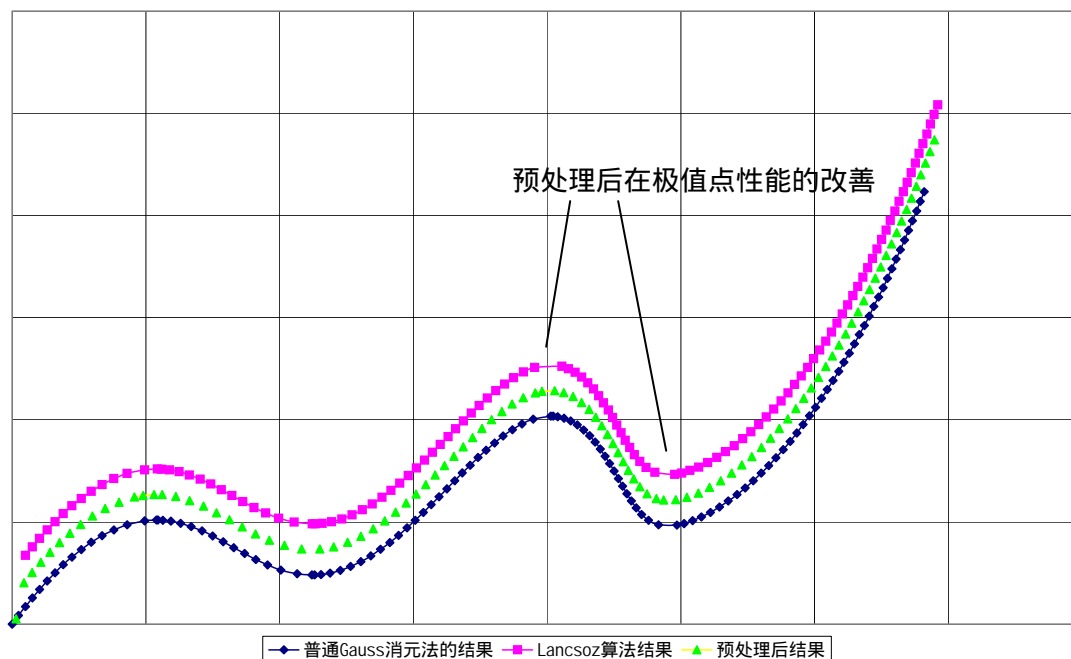


图 8、各种方程求解方法的比较的结果比较

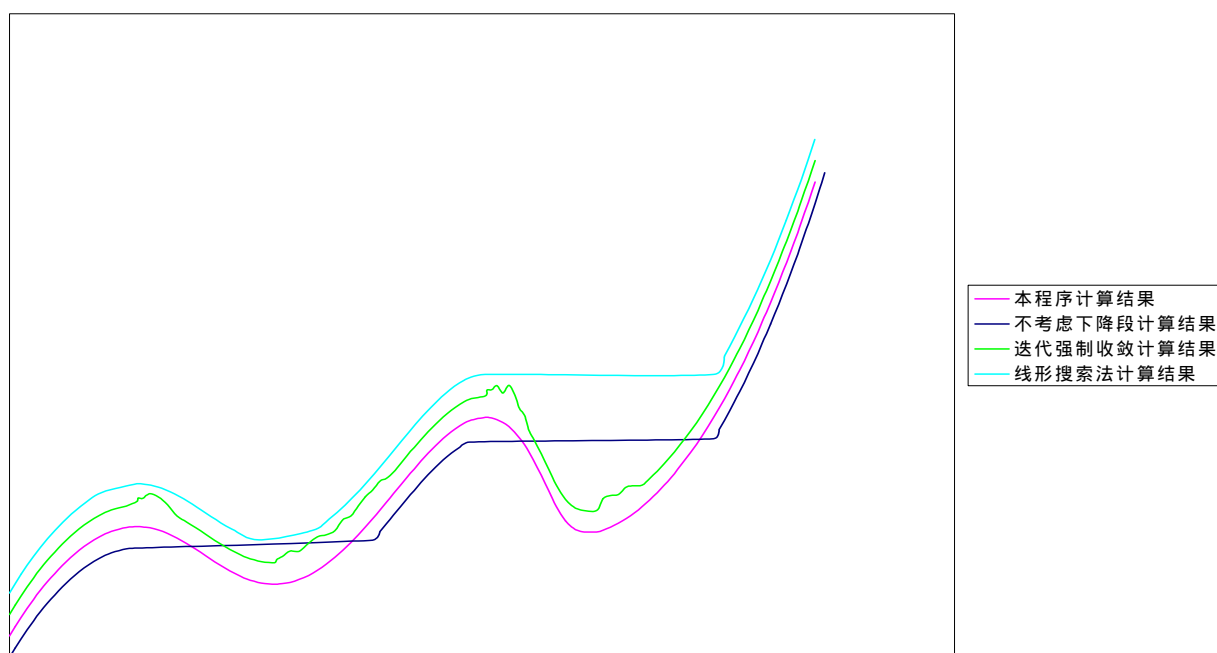


图 9 计算结果对比

另外，还有以下点需要说明：

- 1、这里列出的其他方法的结果，都是用结构计算软件包得到的。其当迭代计算次数相同时，这些软件包的计算速度比我的程序要高一些（一般用时为我的程序的80%-90%），我认为，这是这些商品软件开发时进行了细致的优化的结果。
- 2、如果计算时步长取得很小，线形搜索法也可以得到与本程序相同的结果，但是，其计算工作量几乎要大一倍（在计算本题时，为了得到同等精度的结果，本程序用了

150 步，线形搜索法用了超过 300 步，计算时间也要长不少)。

- 3、实际计算中，在结构刚度变化平缓的阶段，可以适当放大计算步长，也就是说，本程序还有进一步优化的潜力。

#### 四、 结论与讨论

- 1、弧长法作为求解非线性方程的一种有效方法，一直受到人们的关注和重视。提出了包括球面弧长法，柱面弧长法，切平面弧长法，常数线性化法等许多方法。本文利用弧长法中较简便的切平面法，结合结构计算问题特点稍加改进，并使之通用化，得到了较好的结果。
- 2、Lanczos 方法尽管在理论上具有较好的数值稳定性，但是，经过我的实践，我感觉此方法在求解线性方程组上的优势并不是很明显。还需要更强的预处理技术配合，才能充分发挥其优势。
- 3、但是，从以上分析也可以看出，由于在结构分析中经常要分析矩阵的正定性，因此，利用 Lanczos 过程求得矩阵最小特征值的近似值，进而判断矩阵的正定性，仍然使一个十分有效的方法。
- 4、在采用了  $A_3$  预处理技术和稀疏矩阵求解子程序后，线性方程组求解的速度和精度都得到了一定的提高，
- 5、我们可以认为，本程序的开发是成功的。在解决复杂问题时，有着比较明显的优势。如果能够加入对参考弧长的自动选取，则可以进一步提高本程序的效率。